

PIERDERI PRIN FRECARE ÎN RULMENTI

1. Scopul lucrării

Aprecierea pierderilor prin frecare în rulmenții radiali. Studierea influenței forței radiale și a turației asupra momentului rezistent din rulment.

2. Elemente teoretice

2.1. Cauzele pierderilor prin frecare în rulmenți

Rulmenții, bazați în principal pe realizarea unei mișcări de rostogolire între elementele de contact, realizează în funcționare un moment rezistent determinat de un complex de cauze:

- microalunecări generate de deformațiile elastice ale corpurilor și căilor de rostogolire;
- histerezisul elastic al materialului supus deformațiilor de contact;
- alunecări generate de mișcarea de pivotare a corpurilor de rostogolire;
- alunecare între corpurile de rostogolire și colivie;
- frecarea vâscoasă dintre lubrifiant și ansamblul colivie-corpuri de rostogolire;
- frecarea din etanșări.

Ponderea cauzelor menționate în valoarea momentului rezistent total este dependentă atât de regimul de funcționare a rulmentului (sarcină, turație, natura lubrificației), cât și de tipodimensiunea acestuia, ceea ce face extrem de dificilă obținerea unei relații cantitative cu valabilitate generală.

2.2. Relații de calcul

Pentru aplicații practice curente (forțe și turații medii) se utilizează relații simple care consideră explicit numai o parte din cauzele prezentate anterior, restul fiind înglobate în coeficienții apreciați experimental.

Relația propusă de SKF, [1], separă momentul rezistent de frecare în două componente:

$$M_{rf} = \phi_{ish} \cdot \phi_{rs} \cdot M_{rr} + M_{sl} \quad (1)$$

unde: - M_{rr} este momentul rezistent datorat mișcării de rostogolire;
- M_{sl} este momentul rezistent datorat mișcării de alunecare;

- ϕ_{ish} este factorul determinat de creșterea temperaturii în filmul de lubrifiant din rulment;
- ϕ_{rs} este factorul determinat de fenomenul de starvare, (lipsa de lubrifiant în zona contactului).

Pentru componenta M_{rr} este propusă relația:

$$M_{rr} = G_{rr} \cdot (v \cdot n)^{0.6} \quad [\text{N} \cdot \text{mm}] \quad (2)$$

unde: - v este vâscozitatea cinematică a lubrifiantului în mm^2/s , la temperatura de lucru;

- n este turația inelului interior, rot/min ;
- G_{rr} este o variabilă care depinde de – tipul rulmentului; diametrul mediu al rulmentului d_m , mm ; forța radială de încărcare F_r , N .

$$G_{rr} = R_1 \cdot d_m^{1.96} \cdot F_r^{0.54} \quad (3)$$

Pentru calculul componentei M_{sl} este propusă relația:

$$M_{sl} = G_{sl} \cdot \mu_{sl} \quad [\text{N} \cdot \text{mm}] \quad (4)$$

unde: - G_{sl} este o variabilă care depinde de tipul rulmentului, diametrul mediu al rulmentului, d_m , mm ; forța radială de încărcare F_r , N ;

- μ_{sl} este coeficientul de frecare de alunecare (0,05 lubrifiere cu ulei mineral; 0,04 lubrifiere cu ulei sintetic).

$$G_{sl} = S_1 \cdot d_m^{-0.26} \cdot F_r^{5/3} \quad (5)$$

Parametrii R_1 și S_1 au valori dependente de tipul rulmentului, tabelul 1. La o cantitate mare de lubrifiant din zona de intrare în contact, apare fenomenul de „reverse flow”. Acest fenomen determină creșterea temperaturii în filmul de lubrifiant, implicit se va micșora grosimea filmului de lubrifiant ca urmare a reducerii vâscozității.

Momentul rezistent global se corectează cu ajutorul factorului termic pentru care este propusă relația:

Tabelul 1 Parametrii din relațiile (3) și (5) dependenți de tipul de rulmenți, [1]

Tipul rulmentului	Constanta geometrică pentru momentul rezistiv de rostogolire, R_1	Constanta geometrică pentru momentul rezistiv de alunecare, S_1
2, 3	$4,4 \cdot 10^{-7}$	$2,00 \cdot 10^{-3}$
42, 43	$5,4 \cdot 10^{-7}$	$3,00 \cdot 10^{-3}$
60, 630	$4,1 \cdot 10^{-7}$	$3,73 \cdot 10^{-3}$
62, 622	$3,9 \cdot 10^{-7}$	$3,23 \cdot 10^{-3}$
63, 623	$3,7 \cdot 10^{-7}$	$2,84 \cdot 10^{-3}$
64	$3,6 \cdot 10^{-7}$	$2,43 \cdot 10^{-3}$
160, 161	$4,3 \cdot 10^{-7}$	$4,63 \cdot 10^{-3}$
617, 618, 628, 637, 638	$4,7 \cdot 10^{-7}$	$6,50 \cdot 10^{-3}$
619, 639	$4,3 \cdot 10^{-7}$	$4,75 \cdot 10^{-3}$

$$\phi_{ish} = \frac{1}{1 + 1,84 \cdot 10^{-9} \cdot (n \cdot d_m)^{1,28} \cdot \nu^{0,64}} \quad (6)$$

Lipsa de lubrifiant în zona dintre suprafețele deformate elastic este cunoscută și sub numele de fenomen de „starvare” (înfometare) și care determină reducerea grosimii filmului elastohidrodinamic. Ca urmare, momentul rezistiv global se corectează cu factorul de starvare:

$$\phi_{rs} = \frac{1}{e^{K_{rs} \cdot \nu \cdot n \cdot (D+d) \sqrt{\frac{K_z}{2 \cdot (D-d)}}}} \quad (7)$$

unde: - K_{rs} este o constantă în funcție de tipul de ungere ($3 \cdot 10^{-8}$ pentru un nivel mic în baie de ulei și jet de ulei; $6 \cdot 10^{-8}$ pentru ungere cu unsoare consistentă);

- D și d sunt diametrele rulmentului, mm, din catalogul de rulmenți, (tabelul 4);
- K_z este o constantă care depinde de tipul de rulment (tabelul 2).

Tabelul 2 Constantă de geometrie, relația (7), [1]

Tipul rulmentului	Constanta de geometrie K_z
Radial cu bile pe un rând sau pe două rânduri	3,1
Radial-axial cu bile pe un rând	4,4
Radial-axial cu bile pe două rânduri	3,1
Radial-axial cu bile contact în 4 puncte	3,1
Radial oscilant cu bile pe două rânduri	4,8

2.3. Relații simplificate de calcul

Pentru calcule rapide aprecierea momentului rezistent se poate realiza utilizând un coeficient de frecare μ care, dat fiind caracterul complex al pierderilor de putere din rulmenți, capătă semnificație simbolică:

$$M_{rf} = \mu \cdot F_r \cdot \frac{d}{2} \quad (8)$$

Valori pentru coeficientul global de frecare sunt menționate în tabelul 3.

Tabelul 3 Coeficientul de frecare global, [1]

Tipul rulmentului	Simbolul tipului	Coeficientul global de frecare μ
Radial cu bile pe un rând	6	$1,5 \cdot 10^{-3}$
Radial-axial cu bile pe un rând	7	$2,0 \cdot 10^{-3}$
Radial-axial cu bile pe două rânduri	3	$2,4 \cdot 10^{-3}$
Radial-axial cu bile contact în 4 puncte	QJ	$2,4 \cdot 10^{-3}$
Radial oscilant cu bile pe două rânduri	1	$1,0 \cdot 10^{-3}$
Radial cu role cilindrice, cu colivie și $F_a = 0$	NJ, NU, NUP	$1,1 \cdot 10^{-3}$
Radial cu role cilindrice, fără colivie		$2,0 \cdot 10^{-3}$
Radial-axial cu role conice	3	$1,8 \cdot 10^{-3}$
Radial oscilant cu role butoi	2	$1,8 \cdot 10^{-3}$
Axial cu bile	5	$1,3 \cdot 10^{-3}$
Axial cu role cilindrice	8	$5,0 \cdot 10^{-3}$
Axial cu role butoi	29	$1,8 \cdot 10^{-3}$

3. Instalația experimentală

3.1. Componența instalației

Instalația pentru determinarea experimentală a momentului de frecare din rulment este formată din:

- standul mecanic ce conține rulmenții de studiat;
- sistemul de comandă și reglare a turației (mutatorul electronic);
 - variator electronic de turație funcționând pe principiul conversiei frecvenței în domeniul $f = 1 \dots 100$ Hz, pentru tensiunea alternativă de alimentare.
 - motor asincron cu rotor în scurtcircuit, cu „p” perechi de poli,

$$n = \frac{60 \cdot f}{p} \quad (9)$$

- Sistemul de măsură (punte tensometrică).

3.2. Descrierea standului

Constructiv, figura 1, standul este alcătuit din arborele 4 pe care sunt fixați doi rulmenți 6204 și pe care se montează o bucă 11, care servește drept arbore pentru cei 4 rulmenți de tip 6212, 10, la care se studiază momentul rezistent. Încărcarea cu forță radială a rulmenților 6212 se realizează cu ajutorul unu dispozitiv șurub - piuliță 8, mărimea forței fiind apreciată cu un arc dinamometric 7 prevăzut cu un comparator cu cadran 9. Toate aceste elemente sunt asamblate într-un corp 13, care este prevăzut în dreapta cu un capac înfundat, iar la stânga cu un capac străpuns 5, etanșarea față de arborele 4 fiind de tipul cu labirint.

Antrenarea arborelui 4 în mișcare de rotație se face prin intermediul unei transmisii prin curele trapezoidale 3 de la un motor asincron cu rotor în scurtcircuit, comandat de către un variator digital de turație. Între arborele 4 și bucă 11 se află lamela 12 cu ajutorul căreia este transmis momentul de torsion. Pe lamela 12 se află lipiți patru traductori tensometrici rezistivi și care sunt legați la capul colector 2 prin conductori ce străbat arborele 4, găurit axial. De corpul 13 sunt fixate greutățile 14 care prin intermediul acului indicator 15 și a scării gradate 16 permite măsurarea unghiului de rotație și deci a momentului de frecare realizat pe inelul exterior a rulmenților de studiat, 10. În timpul funcționării arborele 4 acționează asupra lamelei 12 cu o forță determinată de valoarea momentului rezistent total din rulmenții 10, producând deformarea prin încovoiere a lamelei, deformație sesizată de traductoare tensometrici rezistivi și vizualizată prin intermediul capului colector la o punte tensometrică. Soluționarea constructivă este prezentată în figura 4, [2].

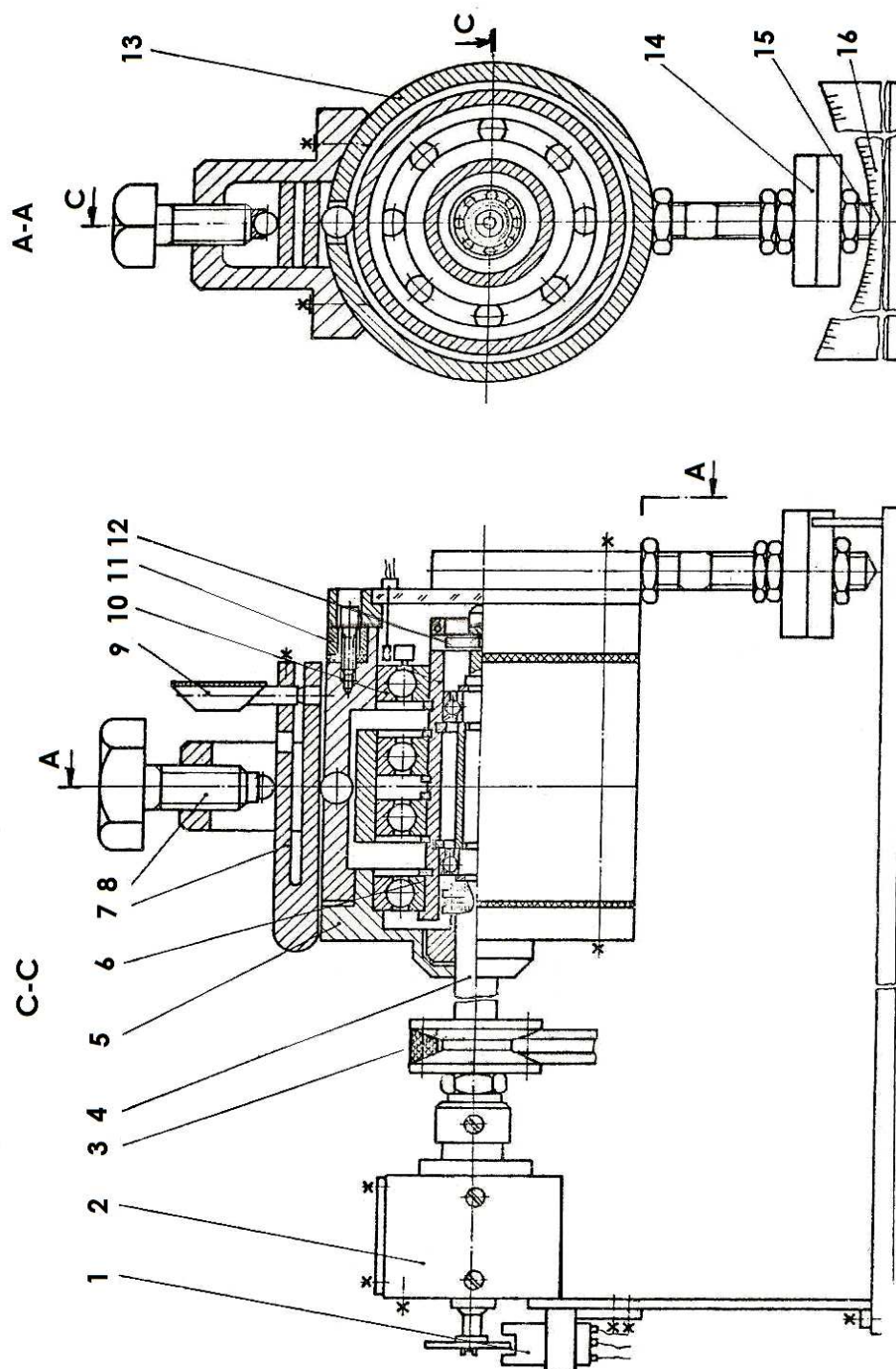


Fig. 1 Instalația experimentală pentru măsurarea pierderilor prin fricare în rulmenți. [2]

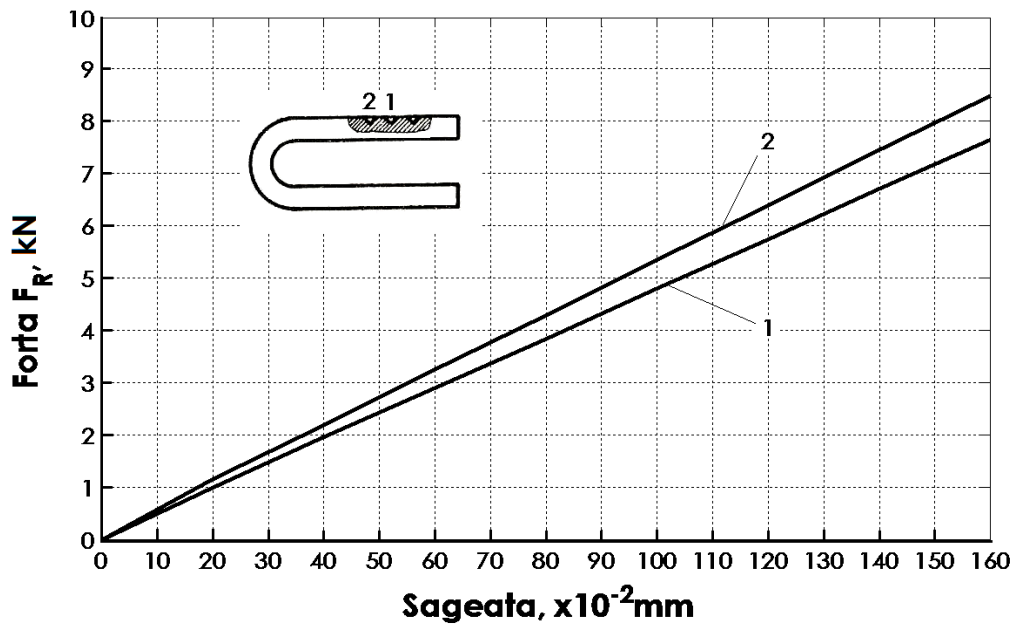


Fig. 2 Diagramă de etalonare a arcului dinanometric, [3]

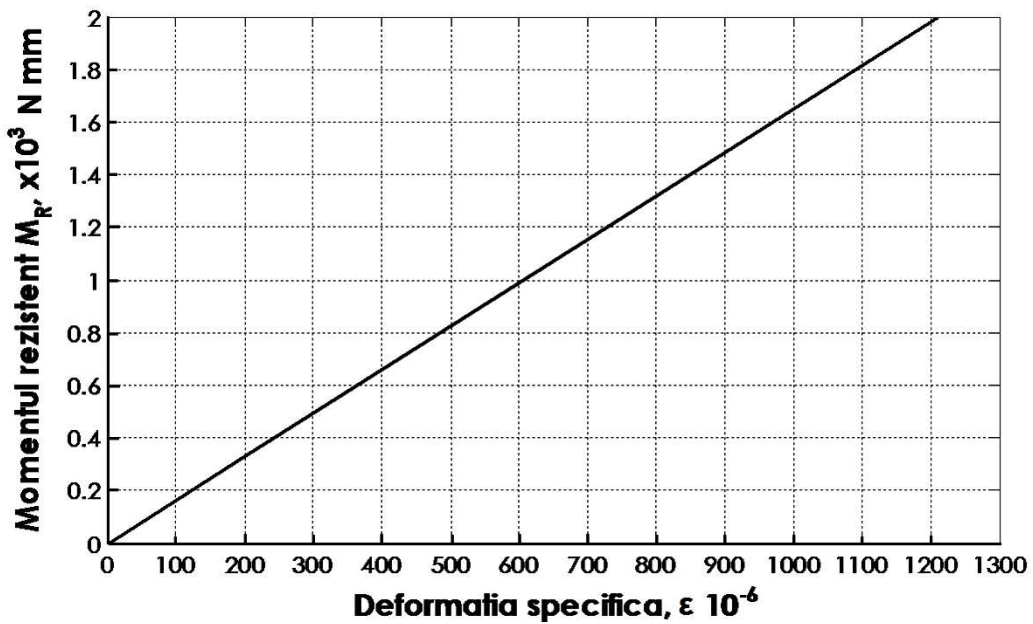


Fig. 3 Dependența momentului rezistent în funcție de deformația lamelei



Fig. 4 Stand pentru studiul frecarii în rulmenții radiali

3.3. Parametrii principali

Parametri funcționali care se apreciază în cursul determinărilor sunt:

- *turația arborelui* 4 și deci și a inelelor interioare a rulmenților 6212, se obține cu relația (9) unde frecvența f , indicată de către variatorul digital, p – numărul de poli ai motorului asincron trifazat cu rotor în scurtcircuit. Deoarece există o alunecare de până la 5% în interiorul motorului, turația poate fi etalonată cu un stroboscop sau turometru la roata condusă a transmisiei prin curele.
- *forța radială de încărcare*, realizată de mecanismul surub – piuliță 8 este evaluată corelând indicațiile comparatorului cu cadran 9 cu diagrama de etalonare a arcului dinamometric, prezentat în figura 2;
- *temperatura lubrifiantului* este evaluată de un termometru digital ce folosește un traductor o diodă semiconductoare indusă în baia de ulei;
- *momentul rezistent total* se evaluează corelând indicațiile de la puntea tensometrică cu graficul de etalonare din figura 3;
- *momentul rezistent realizat pe inelul exterior* este apreciat după măsurarea unghiului φ de rotire a corpului 13 prin relația:

$$M_{r2} = G \cdot l \cdot \sin\varphi \quad (10)$$

unde: - G este greutatea pendulului, $G = 5 \text{ Kg}$;
 - l este distanța de la axa de rotație până la centrul de greutate a pendulului, ($l = 165 \text{ mm}$).

4. Modul de lucru.

Se urmărește determinarea experimentală a dependenței momentului rezistent din rulment de condițiile de funcționare reprezentate prin mărimea forței radiale și mărimea turației inelului interior.

4.1. Relația moment rezistent – sarcină radială

Se menține constantă valoarea turației arborelui principal, făcându-se citiri la puntea tensometrică și pentru unghiul de rotire al pendulului corespunzător unui număr de șase valori ale forței radiale, înregistrându-se și valoarea temperaturii uleiului din baie.

4.2. Relația moment rezistent – turație

Pentru o valoare impusă forței radiale se înregistrează aceleași mărimi ca și la punctul 4.1. corespunzător unui număr de șase turații cuprinse între (100...3000 rot/min).

4.3. Prelucrarea rezultatelor experimentale

Datele experimentale se trec în tabelul 5.

Se calculează:

- i. momentul total rezistent
- ii. momentul rezistent măsurat la nivelul inelului exterior.

Se reprezintă grafic dependențele de sarcină și respectiv de turație, pentru cele două momente rezistente.

5. Interpretarea rezultatelor

Diagramele traseate la punctul 4.3. sunt completate cu dependențele furnizate pentru aceleași condiții funcționale de :

- relațiile de calcul (1)...(7),
- relația simplificată (8) .

Se compară dependențele obținute experimental cu dependențele evidențiate analitic.

Calculele și reprezentările grafice se realizează folosind softul MATLAB, [5], [6].

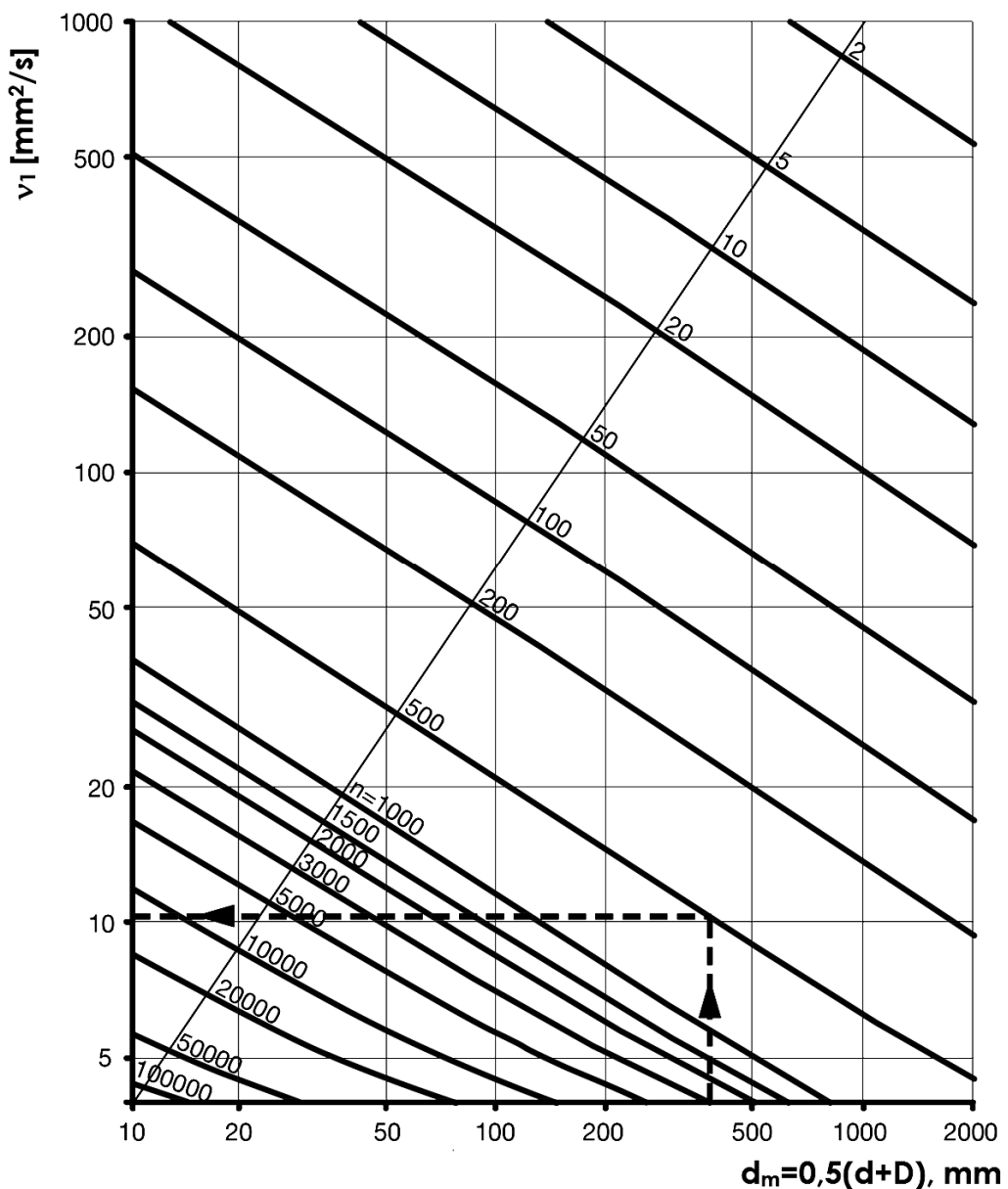


Fig. 5 Valoarea recomandată a vâscozității cinematice la temperatura de lucru
în funcție de diametrul mediu și turăție de funcționare, [4]

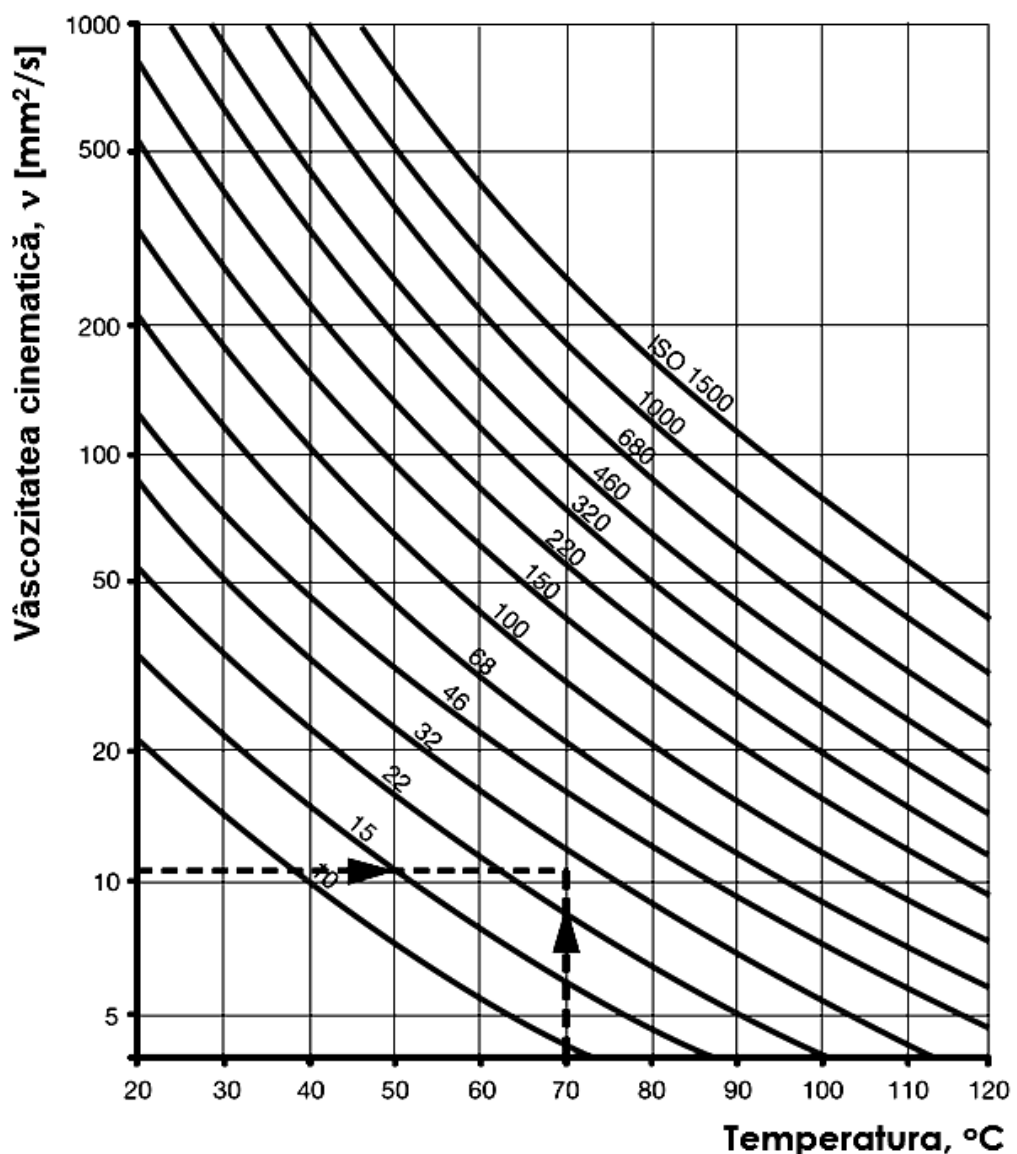


Fig. 6 Determinarea tipului de ulei (ISO grade) funcție de temperatura de lucru și valoarea necesară a vâscozității cinematicice, [4]

Tabelul 4 Date generale prezentate în cataloagele firmelor producătoare, [1].

Dimensiuni principale			Valori de încărcare		Limita de încărcare la oboseală	Turătia de funcționare		Masa	Denumire
d mm	D mm	B mm	dinamic C kN	static C ₀ kN	P _u kN	referință rot/min	Maxim rot/min	kg	-
50	65	7	6,76	6,8	0,285	20000	13000	0,052	61810
	72	12	14,6	11,8	0,50	19000	12000	0,14	61910
	80	10	16,8	11,4	0,56	18000	11000	0,18	16010
	80	16	22,9	16	0,71	18000	11000	0,26	6010
	90	20	37,1	23,2	0,98	15000	10000	0,46	6210
	110	27	65	38	1,60	13000	8500	1,05	6310
	130	31	87,1	52	2,20	12000	7500	1,90	6410
55	72	9	9,04	8,8	0,38	19000	12000	0,083	61811
	80	13	16,5	14	0,60	17000	11000	0,19	61911
	90	11	20,3	14	0,70	16000	10000	0,26	16011
	90	18	29,6	21,2	0,90	16000	10000	0,39	6011
	100	21	46,2	29	1,25	14000	9000	0,61	6211
	120	29	74,1	45	1,90	12000	8000	1,35	6311
	140	33	99,5	62	2,60	11000	7000	2,30	6411
60	78	10	11,9	11,4	0,49	17000	11000	0,11	61812
	85	13	16,5	14,3	0,60	16000	10000	0,20	61912
	95	11	20,8	15	0,74	15000	9500	0,28	16012
	95	18	30,7	23,2	0,98	15000	9500	0,42	6012
	110	22	55,3	36	1,53	13000	8000	0,78	6212
	130	31	85,2	52	2,20	11000	7000	1,70	6312
	150	35	108	69,5	2,90	10000	6300	2,75	6412
65	85	10	12,4	12,7	0,54	16000	10000	0,13	61813
	90	13	17,4	16	0,68	15000	9500	0,22	61913
	100	11	22,5	16,6	0,83	14000	9000	0,30	16013
	100	18	31,9	25	1,06	14000	9000	0,44	6013
	120	23	58,5	40,5	1,73	12000	7500	0,99	6213
	140	33	97,5	60	2,5	10000	6700	2,10	6313
	160	37	119	78	3,15	9500	6000	3,30	6413

Tabelul 4 Date generale prezentate în catalogele firmelor producătoare, (continuare), [1].

Dimensiuni								Coeficienti de calcul	
d mm	d ₁ mm	D ₁ mm	D ₂ mm	R _{1,2min} mm	d _{a min} mm	D _{a max} mm	r _{a max} mm	k _r	f ₀
50	55,1	59,9	-	0,3	52	63	0,3	0,015	17
	56,9	65,1	-	0,6	53,2	68,8	0,6	0,02	16
	60	70	-	0,6	53,2	76,8	0,6	0,02	14
	59,8	70,3	72,8	1	54,6	75,4	1	0,025	15
	62,5	77,4	81,6	1,1	57	83	1	0,025	14
	68,8	91,1	95,2	2	59	101	2	0,03	13
	75,5	104	-	2,1	64	116	2	0,035	12
55	60,6	66,4	-	0,3	57	70	0,3	0,015	17
	63,2	71,8	-	1	59,6	75,4	1	0,02	16
	67	78,1	-	0,6	58,2	86,8	0,6	0,02	15
	66,3	78,7	81,5	1,1	61	84	1	0,025	15
	69,1	85,8	89,4	1,5	64	91	1,5	0,025	14
	75,3	99,5	104	2	66	109	2	0,03	13
	81,6	113	-	2,1	69	126	2	0,035	12
60	65,6	72,4	-	0,3	62	76	0,3	0,015	17
	68,2	76,8	-	1	64,6	80,4	1	0,02	16
	72	83	-	0,6	63,2	91,8	0,6	0,02	14
	71,3	83,7	86,5	1,1	66	89	1	0,025	16
	75,5	94,6	98	1,5	69	101	1,5	0,025	14
	81,9	108	112	2,1	72	118	2	0,03	13
	88,1	122	-	2,1	74	136	2	0,035	12
65	71,6	78,4	-	0,6	68,2	81,8	0,6	0,015	17
	73,2	81,8	-	1	69,6	85,4	1	0,02	17
	76,5	88,4	-	0,6	68,2	96,8	0,6	0,02	16
	76,3	88,7	91,5	1,1	71	94	1	0,025	16
	83,3	102	106	1,5	74	111	1,5	0,025	15
	88,4	116	121	2,1	77	128	2	0,03	13
	94	131	-	2,1	79	146	2	0,035	12

Tabelul 5 Rezultate experimentale

Nr. crt.	Mărimea	Unitate de măsură	Relația sau diagrama	Numărul determinării					
				1	2	3	1	2	3
1.	Indicația comparatorului	10^{-2} mm	se măsoară						
2.	Forța radială totală, F_R	N	Fig. 2						
3.	Forța radială pe un rulment, F_r	N	$F_r = F_R/4$						
4.	Frecvența, f	Hz	se măsoară						
5.	Turația, n	rot/min	$n = 57 \cdot f$						
6.	Tipul uleiului								
7.	Temperatura uleiului	°C	se măsoară						
8.	Vâscozitatea cinematică	mm^2/s	Fig. 5, 6						
9.	Unghiul φ	grade	se măsoară						
10.	M_r (măsurat)	N·mm	Fig. 3						
11.	M_{r2} (măsurat)	N·mm	Rel. (10)						
12.	M_{rr} (calculat)	N·mm	Rel. (2, 3)						
13.	M_{sl} (calculat)	N·mm	Rel. (4, 5)						
14.	ϕ_{ish}		Rel. (6)						
15.	ϕ_{rs}		Rel. (7)						
16.	M (calculat)	N·mm	Rel. (1)						
17.	μ		Rel. (8)						

Bibliografie:

1. SKF, General Catalogue, 2008, Sweden.
2. Crețu, S., Damian, I., Stand pentru măsurarea momentelor de freare în rulmenți, Brevet RSR Nr. 89611.
3. Gafitanu, M., Crețu, Sp., Bariz, Gh., Olaru, D., Racocea, C., Hagiu, Gh., Oancea, I., Știrbu, C., Ivănică, P., Grigoraș, Ș., 1985, Organe de mașini, Îndrumar de laborator, I.P.Iași.
4. <http://www.skf.com/group/products/bearings-units-housings/index.html>
5. http://www.mathworks.com/help/pdf_doc/matlab/getstart.pdf
6. http://www.mathworks.com/academia/student_center/tutorials/launchpad.html